

環境의 比抵抗을 고려한 水中 圓鋼板의
分極電位分布에 관한 研究

金 貴 植*

**A Study on the Polarization Potential Distribution of a Steel Disc in
the Water by Specific Resistance of Corrosion Circumstances.**

Gui-Sig KIM

Protecting a steel disc submerged by impressed current method, the author had investigated and published the effects that anode location exerts on polarization potential distribution and electric power for corrosion prevention when the specific resistance of water was set as 1920 $\Omega\text{-cm}$.

In this paper, the author investigated the influence of specific resistance of water on polarization potential distribution and the applicable limit.

The results obtained are as follows:

- (1) When the specific resistance of water is between 26-480 $\Omega\text{-cm}$, the effect that anode location exerts on polarization potential distribution is little.
- (2) When the specific resistance of water is between 1000-4900 $\Omega\text{-cm}$, the polarization potential at the drainage point is presented as follow; $E_p = E_0 + 0.0122(\rho - 1920)$
where E_0 : polarization potential at the drainage point when $\rho = 1920 \Omega\text{-cm}$.
- (3) In the range of 1000-4900 $\Omega\text{-cm}$, the empirical formula are corrected as follow;

$$E_p = E'_0 \{ K_0 (\sqrt{\rho_s/Rt} x) / K_0 (\sqrt{\rho_s/Rt}) \}$$

$$\sqrt{R} \times 10^3 = 10^{2.7698h+0.238} x + 10^{3.906h+1.4}$$

蝕電流와 比抵抗과의 관계를 考察하여 比抵抗에 따른
腐蝕性 環境을 規明하고 있다.

緒 論

環境의 比抵抗에 따른 鋼의 腐蝕은 比抵抗이 적은 環境이 염소이온, 금속이온이 많으므로 腐蝕性이 강하다고 田(1978)이 評價하고 있으며, 특히 花田(1957)과 Waldron(1958)등은 陽極形狀에 따른 回路抵抗의 計算을 環境의 比抵抗의 函數로 表示하고 있고, 門井(1966)과 Burkhart(1980)등은 可溶性鹽類와 比抵抗, 腐

平板을 外部電源法으로 陰極防蝕할 때 不溶性陽極의 設置位置에 따른 被防蝕体의 分極電位分布狀態와 所要防蝕電力 등에 關하여 本人(1981)의 研究 發表한 바 있다. 그러나 그것은 比抵抗이 1920 $\Omega\text{-cm}$ 인 경우에 關하여 檢討한 것이었다.

本研究에서는 넓은 범위의 比抵抗에 대하여 比抵抗의 變化가 分極電位分布에 미치는 영향을 考察하여 比抵抗을 고려한 分極電位實驗式을 補正하고 그 適用限

*제주대학; Jeju university.

金 貴 植

界를 檢討하였다.

實驗裝置 및 實驗方法

1. 實驗裝置

本研究의 實驗裝置는 Fig. 1과 같이 配置하였다.

試驗片은 지름 56cm, 두께 0.4cm의 構造用炭素鋼(KSD 3566 SPS 30)圓板을 使用하여 表面의 녹을 완전히 제거하고 아세톤으로 脱脂한 후 排流端線과 測定用端線을 블었다. 그리고 有效作用面積을 $\pi/4 \times 50^2 \text{ cm}^2$ (0.1963 m^2)이 되도록 露出하고 그외의 表面과 全裏面은 絶緣施工하여 水槽(80cm D \times 100cm H)에 浸漬하였다.

不溶性陽極(지름 1cm 球型, 鉛銀合金電極)은 試驗片中央에서 높이 15cm 位置에 固定하고 基準電極(飽和칼로릴電極, Corning cat. No. 47610900)은 길이 방향으로 移動시킬 수 있도록 設置하여 試驗片各點의 分極電位를 測定할 수 있도록 하였다.

그리고 電源裝置(直流定電壓, 50V-1A容量)와 電位差計(VTVM, Dynascan Corp. Model 177)에 각각 試驗片의 端線들을 配線하였다.

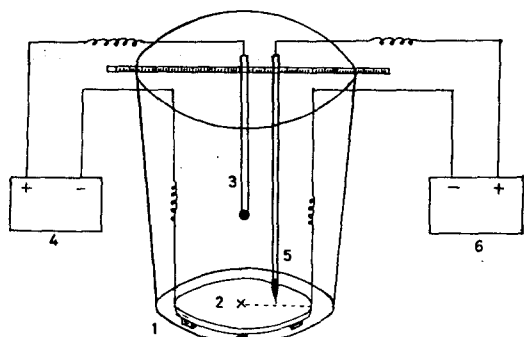


Fig. 1 Experimental Equipment
 1: Watertank 2: Test piece
 3: Insoluble electrode
 4: Electric power source
 5: Reference electrode(SCE)
 6: Potentiometer

2. 實驗方法

試驗片을 水槽에 浸漬하고 2週間은 주간 8시간을 電流密度 150mA/m²로 陰極防蝕하고 그외의 시간은 無

防蝕狀態로 放置해 둠으로서 試驗片을 安定시킨 후 通電試驗을 시작하였다. 아래의 試驗片의 自然電位는 -690mV(SCE)였다.

分極電位의 測定은 防蝕電流를 20分間 通過해서 충분히 分極이 된 다음 測定하였으며 測定이 끝난 후에는 電源을 끊고 물의 比抵抗을 調質하였다. 그 調質은 海水(26°C , $24\Omega\text{-cm}$)와 清水(26°C , $4900\Omega\text{-cm}$)을 적당량씩 혼합하여 比抵抗計(CM-3M TOA Electrode Ltd)로써 測定하였다. 調質하였으며, 比抵抗 $26\sim 4900\Omega\text{-cm}$ 범위에서 각각의 分極電位를 測定하였다. 그리고 각각의 比抵抗의 調質時마다 試驗片을 安定시키고 通電試驗을 하였으며 각 경우마다 自然電位는 -690mV였다.

結果 및 考察

本人의 研究報告(1981)에서, 그리고 Wilson(1970)이 實驗的으로 구한 最的防蝕時의 陽極 높이率의 범위보다 分極電位에 더욱 영향을 크게 미치는 0.3의 陽極 높이率에서 一定印加電流密度 100 mA/m^2 일 때 물의 比抵抗에 따른 分極電位分布는 Fig. 2와 같다.

Fig. 2에 의하면 比抵抗이 $26\sim 480\Omega\text{-cm}$ 범위에서 分極電位分布狀態가 良好하므로 陽極의 適正設置位置의 영향은 거의 없으며, $720\sim 4900\Omega\text{-cm}$ 의 범위에서는

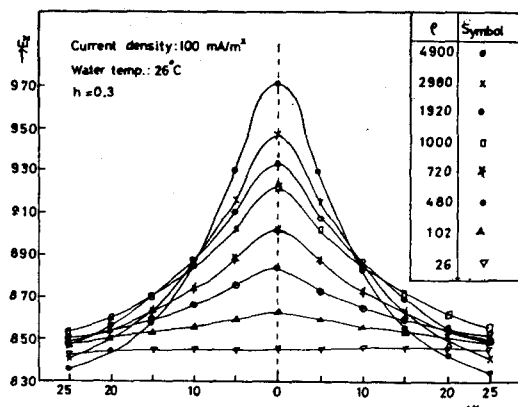


Fig. 2 Cathodic polarization potentials.

分極電位分布狀態가 不良하므로 1920 $\Omega\text{-cm}$ 에서 유도한 試驗片任意點의 分極電位의 實驗式은 이 比抵抗의 범위에서는 補正되어야 한다.

試驗片任意點의 分極電位의 式이 E_0 와 R 및 試驗片의 各 치수의 函數로, 또 F_0 가 i_0 와 h 의 函數로 $R = i_0/h$ 와 x 의 函數로 表示되므로 門井(1966)과 Burkhardt(1980)와 같이 環境의 比抵抗이 電流密度에 영향을 준

環境의 比抵抗을 고려한 水中圓鋼板의 分極電位分布에 관한 研究

다고 하면 比抵抗과 分極電位와의 관계는 排流点의 分極電位와 比抵抗의 관계를 살펴봄으로써 알 수 있다. 물의 比抵抗(ρ)의 變化에 따른 排流点의 分極電位(E)를 Fig. 3에 圖示하였다.

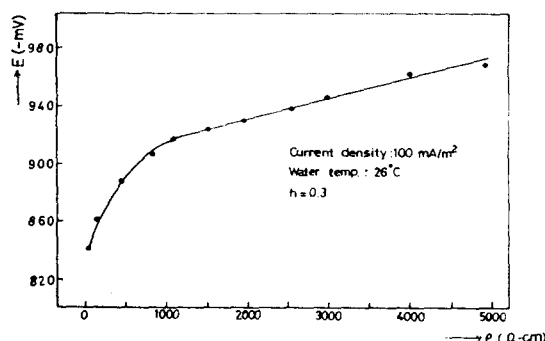


Fig. 3 Relations of E to ρ

Fig. 3에 의하면 물의 比抵抗(ρ)이 $1000\sim4900 \Omega\text{-cm}$ 범위에서 排流点의 分極電位(E)는 $1920 \Omega\text{-cm}$ 에서의 分極電位에서 완만하게 直線的으로 變化함을 알 수 있다.

그리므로 그 一般式을

$$E = ap + b \quad \dots\dots\dots(1)$$

로 表示할 수 있으며, 常數 a 및 b 는 測定值를 代入하여 最小自乘法으로 確定하면 다음과 같다.

$$E = 0.0122 \rho + 915.06 \quad \dots\dots\dots(2)$$

(2) 式을 $1920 \Omega\text{-cm}$ 일 때의 排流点의 分極電位(E_0)에 適用시키면 물의 比抵抗을 고려한 排流点의 分極電位(E'_0)는

$$E'_0 = E_0 + 0.0122(\rho - 1920) \quad \dots\dots\dots(3)$$

로 表示된다.

E_0 에 대한 E'_0 의 比率은 Table 1에 나타난 바와 같아 $\rho = 1300\sim2500 \Omega\text{-cm}$ 범위에서 ±5%이며, $\rho = 450$

Table 1 Calculated polarization potential for the drainage point & the ratio of (E'_0/E_0)

ρ	450	700	1000	1300	1500	1920	2500	2980	3500
h									
0.2	1322.14 (98.6)	1325.19 (98.8)	1328.85 (99.1)	1332.50 (99.4)	1334.95 (99.6)	1340.07 (100.0)	1347.15 (100.5)	1353.00 (101.0)	1359.35 (101.4)
0.4	674.57 (97.4)	677.67 (97.8)	681.28 (98.3)	684.93 (98.8)	687.38 (99.2)	692.51 (100.0)	699.59 (101.0)	703.53 (101.6)	711.77 (102.8)
0.6	358.68 (95.2)	361.74 (96.0)	365.40 (97.0)	369.06 (97.9)	371.50 (98.6)	376.62 (100.0)	383.70 (101.8)	389.55 (103.4)	395.89 (105.1)
0.8	154.65 (89.6)	157.70 (91.4)	161.36 (93.5)	165.02 (95.6)	167.46 (97.0)	172.58 (100.0)	179.65 (104.1)	185.51 (107.4)	191.85 (111.0)

Table 2 Calculated Polarization Potential
Measured Polarization Potential and the ratio. ($h=0.3$)

ρ	0	10	20	25
x				
720	930.73 (105.2)	903.19 (105.8)	884.83 (104.6)	874.57 (106.8)
	902	870	861	853
1000	934.14 (101.2)	887.43 (98.9)	868.75 (101.2)	850.06 (100.6)
	923	891	859	845
1920	945.37 (101.4)	879.19 (100.5)	860.28 (102.2)	841.37 (100.2)
	934	875	842	840
2980	958.30 (100.8)	891.22 (100.7)	862.47 (101.5)	843.31 (100.3)
	950	885	853	841
4900	981.73 (100.5)	873.64 (98.2)	854.11 (100.7)	834.47 (99.8)
	974	880	848	836

金 貴 植

~3500 $\Omega\text{-cm}$ 범위에서 ±11% 이내의 차를 나타낸다. 따라서 $\rho = 1300 \sim 2500 \Omega\text{-cm}$ 의 범위 이내라면 E_0 을 그대로 사용해도 좋지만 ρ 의 영향을 고려하면 $\rho = 1000 \sim 4900 \Omega\text{-cm}$ 범위에서 E_0 대신 E'_0 을 대입하여補正하면試驗片任意点의分極電位式은 다음과 같다.

$$\left. \begin{aligned} E_x &= E'_0 \left(K_0(\sqrt{\rho_s/Rt} x) / K_0(\sqrt{\rho_s/Rt}) \right) \\ E'_0 &= (16.731 - 9.708 \log(50h)) i_0 + 10^{3-3.141h} \\ &\quad - 19.0 + 0.0122(\rho - 1920) \\ \sqrt{R} \times 10^3 &= 10^{2.7698h+0.233} x + 10^{3.906h+1.4} \end{aligned} \right\} \quad (4)$$

本試驗片의 치수가 $d = 50\text{cm}$, $t = 0.4\text{cm}$, 炭素銅의比抵抗(ρ_s)이 $13.5 \times 10^{-6} \Omega\text{-cm}$ 이므로 (4)式에適用하여計算한分極電位와 實測한分極電位의比를 Table 2에表示하였다.

要 約

물의比抵抗의變化에따른分極電位分布를調查檢討한結果를要約하면 다음과 같다.

1. 물의比抵抗이 $26 \sim 480 \Omega\text{-cm}$ 범위에서는分極電位分布狀態가良好하여陽極의適正設置位置의영향은거의없다.

2. 물의比抵抗과排流point의分極電位와의관계는比抵抗이 $1920 \Omega\text{-cm}$ 일때의排流point의分極電位를 E_0 라할때 $\rho = 1000 \sim 4900 \Omega\text{-cm}$ 에서

$$E'_0 = E_0 + 0.0122(\rho - 1920)$$

3. 물의比抵抗이 $1000 \sim 4900 \Omega\text{-cm}$ 일때試驗片表面의任意点의分極電位의實驗式은 다음과 같이補正된다.

$$\left. \begin{aligned} E_x &= E'_0 \left(K_0(\sqrt{\rho_s/Rt} x) / K_0(\sqrt{\rho_s/Rt}) \right) \\ \sqrt{R} \times 10^3 &= 10^{2.7698h+0.233} x + 10^{3.906h+1.4} \end{aligned} \right\}$$

文 献

田大熙(1978) : 地下埋設鐵鋼体의腐蝕과陰極防蝕法, 韓國腐蝕學會誌, 7-1, 25-33.

花田政明・豊部正義(1959) : 實驗式に求めた接地抵抗の近似計算式, 防蝕技術, 8-6, 245-250.

L. J. Waldron · M. H. Peterson (1958) : The Current Voltage Relationship of Galvanic Anode Arrays in Cathodic Protection, NACE, 14, 289t-294t.

門井守夫・高橋紹明・矢野浩太良(1966) : 金屬材料の土壤腐蝕についての研究, 防蝕技術, 16-6, 10-18.

W. H. Brinkhart(1980) : Temperature Rise in Underground Impressed Current Anodes, NACE, 36-4, 161-167.

金貴植(1981) : 外部電源에의한水中圓鐵板의陰極防蝕에관한研究, 韓國海洋大學碩士學位論文, 5-28.

L. Wilson(1970) : The Distribution of Current Densities at the Cathodic Surfaces of Cathodic Protection system, Anti-Corrosion, Feb., 23-26.

記號說明

x : 排流点에서測定点까지의거리(cm)

d : 試驗片의지름(cm)

t : 試驗片의두께(cm)

H, h : 試驗片center에서陽極까지높이(cm) 및 그높이率(H/d)

ρ_s : 試驗片의比抵抗($\Omega\text{-cm}$)

ρ : 任意의물의比抵抗($\Omega\text{-cm}$)

i_0 : 試驗片의平均電流密度(mA/cm^2)

E_0 : 比抵抗 $1920 \Omega\text{-cm}$ 일때의排流point의分極電位(mV)

E'_0 : 任意의물의比抵抗일때의排流point의分極電位(mV)

E_x : x 点의分極電位(mV)

R : 試驗片의表面抵抗(Ω)

K_0 : Bessel函數